



ESPAÑA



11 Número de publicación: 2 382 464

(2006.01) A61P 19/10 (2006.01) A61P 25/00 (2006.01)

(12)

TRADUCCIÓN DE PATENTE EUROPEA

T3

- 96 Número de solicitud europea: 06818642 .8
- 96 Fecha de presentación: **17.11.2006**
- 97 Número de publicación de la solicitud: 1948689
 97 Fecha de publicación de la solicitud: 30.07.2008
- 54 Título: Mutantes de factor del crecimiento de actividad elevada
- 30 Prioridad:

18.11.2005 EP 05025261

73) Titular/es:

BIOPHARM GESELLSCHAFT ZUR BIOTECHNOLOGISCHEN ENTWICKLUNG VON PHARMAKA MBH CZERNYRING 22 69115 HEIDELBERG, DE

- 45 Fecha de publicación de la mención BOPI: 08.06.2012
- (72) Inventor/es:

POHL, Jens; PLÖGER, Frank y KRUSE, Michael

- Fecha de la publicación del folleto de la patente: 08.06.2012
- (74) Agente/Representante:

Ungría López, Javier

ES 2 382 464 T3

Aviso: En el plazo de nueve meses a contar desde la fecha de publicación en el Boletín europeo de patentes, de la mención de concesión de la patente europea, cualquier persona podrá oponerse ante la Oficina Europea de Patentes a la patente concedida. La oposición deberá formularse por escrito y estar motivada; sólo se considerará como formulada una vez que se haya realizado el pago de la tasa de oposición (art. 99.1 del Convenio sobre concesión de Patentes Europeas).

DESCRIPCIÓN

Mutantes de factor del crecimiento de actividad elevada

30

- La invención se refiere a mutantes de factor del crecimiento biosintéticos recombinantes novedosos que muestran actividad biológica mejorada. Dicha actividad de proteína mejorada se consigue mediante la sustitución de aminoácidos específicos de las proteínas del factor de crecimiento originales que son proteínas de origen natural de la superfamilia de factor del crecimiento transformante beta de moléculas de señalización. Las proteínas recombinantes proporcionadas en el presente documento son particularmente adecuadas para inducir regeneración, estimulación del crecimiento y diferenciación de diferentes células, tejidos y órganos. La invención también se refiere a moléculas de ácido nucleico que codifican dichos mutantes de proteínas recombinantes, vectores de expresión y células hospedadoras que contienen las moléculas de ácido nucleico, anticuerpos dirigidos frente a dichos mutantes de proteína, composiciones farmacéuticas y métodos para producir los mutantes del factor de crecimiento.
- La superfamilia de proteínas de factor del crecimiento transformante beta (TGF-beta) comprende más de 35 miembros incluyendo TGF-betas, proteínas morfogenéticas óseas (BMP), activinas, inhibinas y factores de crecimiento/diferenciación (GDF). Las proteínas de la superfamilia de TGF-beta promueven la proliferación y diferenciación celular así como la formación de tejido y son relevantes para una amplia diversidad de métodos y aplicaciones de tratamiento médico. Estas moléculas diméricas actúan a través de complejos de receptor específicos que están compuestos de serina/treonina quinasas receptoras de tipo I y tipo II. Las quinasas receptoras posteriormente activan proteínas Smad, que después propagan las señales en el núcleo para regular la expresión génica diana. Las rutas de señalización independientes de Smad también se inician por estos receptores y dan como resultado de la inducción de la ruta de MAP Quinasa. Las Smad son una familia única de moléculas de transducción de señal que pueden transmitir señales directamente desde los receptores de la superficie celular al núcleo, donde las mismas regulan la transcripción interaccionando con compañeros de unión a ADN así como coactivadores y coexpresores transcripcionales.
 - Los miembros de esta familia de proteínas se sintetizan inicialmente como proteínas precursoras grandes que posteriormente experimentan escisión proteolítica en un grupo de restos básicos de aproximadamente 110-140 aminoácidos desde el extremo C, liberando de este modo la parte de proteína madura del extremo C del prodominio N-terminal. Todos los polipéptidos maduros están relacionados estructuralmente y contienen un dominio bioactivo conservado que comprende seis o siete restos de cisteína canónicos que son responsables del motivo tridimensional característico de "nudo de cistina" de estas proteínas
- Los diversos miembros de superfamilia se pueden clasificar adicionalmente en subfamilias y grupos diferentes, en base al alcance de la homología/identidad de su motivo de nudo de cistina. Las familias solapantes de proteínas morfogenéticas óseas y factores del crecimiento/diferenciación (GDF) se conoce que juegan un conjunto diverso de papeles en el sistema esquelético y otros tejidos (véase, es decir Ducy y Karsenty 2000, Kidney Int. 57, 2207-2214 para una revisión). Especialmente GDF-5 (la proteína se conoce también como MP52, CDMP-1 o algunas veces como BMP-14), GDF-6 (CDMP-2, BMP13) y GDF-7 (CDMP-3, BMP-12) humanas se han agrupado en conjunto por varios autores debido a sus propiedades biológicas comparables y el grado extraordinariamente elevado de identidad de secuencia de aminoácidos (véase, es decir Mikic 2004, Annals of Biomedical Engineering 32, 466-476; Wolfman et al. 1997, J. Clin. Invest. 100, 321-330).
- Además de las funciones prominentes del subgrupo de GDF-5/-6/-7 en la formación *de novo* de hueso y cartílago (Cheng *et al.* 2003, J. Bone & Joint Surg. Am. 85-A, 1544-1552; Settle *et al.* 2003, Developm. Biol. 254, 116-130), se ha demostrado de forma repetida que los miembros de este subgrupo también son inductores y reguladores importantes de tendones y ligamentos (Wolfman *et al.* 1997, J. Clin. Invest. 100, 321-330), tejidos nerviosos (Farkas *et al.* 1997, Neurosci Lett. 236,120-122; Watakabe *et al.* 2001, J. Neurochem. 76, 1455-1464), ligamento periodontal y dientes (Sena *et al.* 2003, J. Dent. Res. 82, 166-171; Morotome *et al.* 1998, Biochem. Biophys. Res. Commun. 244, 85-90) y otros tejidos.
- Las estructuras de genes y proteínas de diversos BMP/GDF de origen natural incluyendo GDF-5, GDF-6 y GDF-7 se han dilucidado previamente. Se podrían identificar varios mutantes de pérdida de función de GDF-5 los cuales, es decir, conducen al acortamiento de dedos de las manos y de los pies (braquidactília de tipo C) y otras anormalidades esqueléticas tales como braquipodismo en animales (Storm *et al.* 1994, Nature 368, 639-643) y displasias acromesomélicas en el hombre (Thomas *et al.* 1996, Nature Gen. 12, 315-317). Con respecto a estos mutantes se ha observado que las sustituciones de aminoácidos específicas en las posiciones 173, 204, 400, 438, 441 y 498 de GDF-5 humana reducen o abolen completamente la función de la proteína (Schwabe *et al.* 2004, Amer. J. Med Genet. 124A, 356-363). Por el contrario, se conocen hasta la fecha únicamente algunos pocos mutantes de GDF con actividad biológica potenciada. Un ejemplo raro se divulga en el documento WO01/11041 y se refiere a GDF-5 monomérico activo que carece del resto de cisteína normalmente responsable de la dimerización.
 - La búsqueda de las moléculas responsables de la actividad inductora de hueso, cartílago y otros tejidos ha conducido al descubrimiento de un conjunto de moléculas denominadas factores de crecimiento/diferenciación. Debido a sus actividades inductoras de tejido únicas estas proteínas se han aplicado satisfactoriamente en

investigación terapéutica y cirugía regenerativa en las cuales las mismas promueven y ayudan al proceso de curación natural de tejidos dañados, bien sea solas o en combinación con materiales de vehículo y o de matriz específicos. Sin embargo existe una necesidad enorme de desarrollar formas mejoradas y más eficaces de estas proteínas para tales propósitos.

Este objeto se resuelve de acuerdo con la invención proporcionando proteínas recombinantes novedosas obtenidas a partir de proteínas relacionadas con GDF-5 que muestran actividad biológica mejorada como se describe en el presente documento y en las reivindicaciones adjuntas.

10 Con el fin de evitar malos entendidos y ambigüedades, algunos términos usados frecuentemente en el presente documento se definen y se ilustran de la manera siguiente:

5

50

El término "domino de nudo de cistina" como se usa en el presente documento significa la región de aminoácidos con alto contenido en cisteína bien conocida y conservada que está presente en las partes maduras de las proteínas de la superfamilia de TGF-beta tales como GDF-5 humana y que forman una estructura de proteína tridimensional conocida como nudo de cisteína. En este dominio, el emplazamiento respectivo de los restos de cisteína con respecto los unos a los otros es importante y se permite que varíe únicamente ligeramente con el fin de no perder la actividad biológica. Las secuencias de consenso para dominios de nudo de cistina se conocen en el estado de la técnica. De acuerdo con la definición definida en el presente documento el dominio de nudo de cistina de una proteína comienza con el primer resto de cisteína que participa en el nudo de cistina de la proteína respectiva y finaliza con el resto que sigue a la última cisteína que participa en el nudo de cistina de la proteína respectiva. Por ejemplo, el dominio de nudo de cistina de la proteína precursora GDF-5 humana (SEC ID Nº 1) comprende los aminoácidos 400-501 (véase también la Figura 1).

El término "proteína relacionada con GDF-5" como se usa en el presente documento significa cualquier proteína de origen natural o creada artificialmente que comprende un dominio de nudo de cistina con una identidad de aminoácidos de al menos el 60% con el dominio de nudo de cistina de 102 aa de GDF-5 humana (aminoácidos 400-501 de Figura 1/SEC ID N° 1) y que porta un resto de metionina en una posición equivalente al resto de metionina 453 (M453) de GDF-5 humana y un resto de metionina o leucina en una posición equivalente a metionina 456 (M456) de GDF-5 humana. Se incluyen las proteínas que pertenecen al grupo de las proteínas GDF-5, GDF-6 y GDF-7 de especies de vertebrados o mamíferos así como también variantes recombinantes de las mismas siempre y cuando estas proteínas cumplan con los requerimientos mencionados anteriormente.

Los ejemplos no limitantes de proteínas no limitantes relacionadas con GDF-5 de acuerdo con la definición anterior son GDF-5 humana (divulgada como MP52 en el documento WO95/04819 y en Hötten et al. 1994, Biochem. Biophys Res. Commun. 204, 646-652), GDF-5/MP52 humana recombinante (documento WO96/33215), GDF-5 de ratón (documento US 5.801.014), CDMP-1 (documento WO96/14335), MP52 humana de HMW (documento WO97/04095), GDF-5 de conejo (Sanyal et al. 2000, Mol Biotechnol. 16, 203-210), GDF-6/BMP-13 humana (documento US 5.658.882), GDF-6 bovina (NCBI P55106), GDF-6 de ratón (N° de acceso de NCBI NP_038554), GDF-6/CDMP-2 (documento WO96/14335), GDF-7/BMP-12 humana (documento US 5.658.882), GDF-7 de ratón (N° de acceso de NCBI AAP97721), GDF-7/CDMP-3 (documento WO96/143335), GDF-5 de pollo (N° de acceso de NCBI NP_989669), GDF-5 de *Xenopus laevis* (N° de acceso de NCBI AAT99303), GDF-5, -6 y -7 monomérica (documentos WO 01/11041 y WO99/61611), como se muestra en las Figuras 3 y 4.

El término "mutante ML" como se usa en el presente documento significa una proteína recombinante obtenida a partir de una proteína relacionada con GDF-5 en la que, después del alineamiento con GDF-5 humana como se ha descrito en la presente solicitud, el aminoácido equivalente a la metionina 453 (M453) de GDF-5 humana no es metionina y/o el aminoácido equivalente a metionina 456 (M456) de GDF-5 humana (SEC ID N° 1) no es metionina (N) o leucina (L).

La expresión "actividad biológica mejorada" como se usa en el presente documento se refiere a una actividad biológica de un mutante de ML que asciende a al menos el 120% de la actividad de la proteína no mutada respectiva.

La expresión "actividad biológica" indica la actividad de una proteína relacionada con GDF-5 medida mediante uno o más de los siguientes ensayos:

- a) un ensayo de fosfatasa alcalina *in vitro* (ALP), por ejemplo, como se describe en Takuwa *et al.* (1989), Am.J. Physiol. 257, E797-E803);
- b) medición de supervivencia aumentada de neuronas dopaminérgicas según se describe por ejemplo por Krieglstein et al. 1995 (J. Neuroscience Res. 42, 724-732) o Sullivan et al. 1997 (Neuroscience Letters 233, 73-76).
 - c) la extensión de fibras nerviosas desde la retina embrionaria medida por ejemplo, como se describe es decir en el documento WO97/03188;
- d) el potencial angiogénico de estas proteínas verificado por ejemplo en un modelo de microbolsa corneal *in vivo* como se describe en Yamashita *et al.* 1997 (Exp. Cell Research 235, 218-226);

- e) efectos de proteínas relacionadas con GDF-5 sobre la diferenciación terminal de mioblastos determinada según se describe, por ejemplo, por Inada et al 1996 (Biochem Biophys Res Commun. 222, 317-322);
- f) ensayos *in vivo* que miden el potencial inductor de tales proteínas con referencia a tendón y ligamento, por ejemplo, como se divulga en Wolfman *et al.* 1997, J. Clin. Invest. 100, 321-330;
- g) medición de la cascada de transducción de señal a través de la activación de Smad usando un ensayo de gen informador en base a los elementos de unión a Smad que preceden al gen de luciferasa de luciérnaga, por ejemplo, como se ha descrito previamente (Nohe *et al.*, 2002. J Biol Chem. 277, 5330-5338.)

El término "variante" significa cualquiera de los siguientes polipéptidos:

10

5

- a) fragmentos biológicamente activos de una proteína
- b) construcciones de proteína que contienen secuencias adicionales en exceso a la secuencia original de la proteína
- c) cualquier combinación de a) y b)

15

20

25

30

El grupo de GDF-5/-6/-7 de la superfamilia de proteínas TGF-beta, que comprende GDF-5 como su miembro mejor caracterizado, está altamente conservado entre especies de vertebrados/mamíferos (Ducy y Karsenty 2000, Kidney Int. 57, 2207-2214). Se ha observado actualmente de forma sorprendente por medio de estudios mutacionales y otros experimentos que los restos de aminoácidos que corresponden a la metionina 453 (M453) y metionina 456 (M456) de GDF-5 humana se pueden sustituir con algunos aminoácidos especificados sin efectos negativos sobre la función de la proteína. Además, estas sustituciones incluso aumentan la actividad biológica de las proteínas de forma significativa.

Esta realización de la invención se ilustra adicionalmente mediante las Figuras 1, 2 y 3. La Figura 1 muestra la proteína precursora GDF-5 humana (Hötten *et al.* 1994, Biochem. Biophys Res. Commun. 204, 646-652) que consiste en un predominio de 381 aa (aa 1-381 incluyendo péptido señal (aa 1-27), letras en negritas) y una parte madura de 120 aa (aa 382-501). La parte madura o especialmente el dominio de nudo de cistina (aa 400-501, subrayado) son suficientes para la función biológica de la proteína. Los restos M453 y M456 (recuadros grises) están localizados dentro de este dominio de nudo de cistina. Los restos correspondientes en los dominios de nudo de cistina y otras proteínas relacionadas con GDF-5 se muestran en la Figura 2 y Figura 3 (marcados por flechas). Los restos correspondientes en proteínas no mostrados en estas figuras se pueden determinar fácilmente mediante un alineamiento de secuencia con GDF-5 humana.

Se ha observado en proteínas relacionadas con GDF-5 que cuando el resto de metionina en una posición correspondiente a metionina 453 (M453) de GDF-5 de tipo silvestre humana (SEC ID Nº 1) se reemplaza con un aminoácido elegido entre alanina (A), valina (V) o isoleucina (L), la proteína recombinante resultante tiene actividad biológica aumentada.

Una realización preferida, el aminoácido elegido es valina (V) para la posición M453.

40

También se ha observado que cuando el resto de metionina en la posición correspondiente a la metionina 456 (M456) de GDF-5 de tipo silvestre humana (SEC ID Nº 1) se reemplaza con un aminoácido elegido entre alanina (A), valina (V) o isoleucina (L), de forma independiente o en combinación con un reemplazo de M453, la proteína recombinante resultante tiene actividad biológica aumentada.

45

50

55

En una realización preferida, el aminoácido elegido es valina (V) para la posición M456.

Estos mutantes ML de proteínas relacionadas con GDF-5 en los que los equivalentes de M453 y/o M456 se sustituyen con los aminoácidos especificados anteriormente muestran una actividad biológica que aventaja enormemente la actividad de las proteínas no mutadas respectivas.

Como un ejemplo, la Figura 5 muestra la capacidad potenciada del mutante de ML de hGDF-5 M453V/M456V de inducir fosfatasa alcalina *in vitro*. La proteína mutante muestra una actividad biológica del 585,5% (a 133 ng/ml), el 356,3% (a 400 ng/ml) y el 236,3% (a 1.200 ng/ml) de la actividad de la proteína de tipo silvestre (rh-GDF-5) en este ensayo (promedio de múltiples experimentos). Por tanto, la actividad promedio es 585,5 + 356,3 + 236,3 : 3 = 392,7% de la actividad de la proteína de tipo silvestre (rh-GDF-5). La actividad mínima medida para el mutante a una concentración de proteína única y en un experimento único fue el 150% de la actividad de la proteína de tipo silvestre.

Por tanto, los mutantes ML que muestran una actividad biológica mejorada que asciende a al menos el 120% de la actividad de la proteína no mutada respectiva están incluidos en la invención. Son especialmente preferidos los mutantes ML relacionados con GDF-5 con actividades biológicas mejoradas de al menos el 150%, preferentemente el 160%, más preferentemente al menos el 170%, más preferentemente al menos el 180% y lo más preferente es que sea al menos el 200% de la actividad biológica de la proteína no mutada respectiva.

65

Las actividades biológicas de proteínas relacionadas con GDF-5 y mutantes ML de las mismas, es decir, en el

campo de inducción de hueso, cartílago y tejido conectivo tal como, es decir, ligamento periodontal se puede determinar fácilmente con la ayuda de sistemas de ensayo preestablecidos. El más útil y preferido es un ensayo *in vitro* común conocido como ensayo de fosfatasa alcalina (ALP) (Takuwa *et al.* 1989, Am. J. Physiol. 257, E797-E803), que también se demuestra en el ejemplo 2 / Figura 5. Se ha demostrado que las proteínas relacionadas con GDF-5 aumentan la actividad de fosfatasa alcalina, es decir, en células osteoprogenitoras ROB-C26 (Yamaguchi *et al.* 1991, Calcif. Tissue Int. 49, 221-225) como se describe en el documento W095/04819, en células ATDC5 embrionarias (Riken Gene Bank, ROB 0565), en células MCHT-1/26 estromales de ratón y en células de ligamento periodontal (HPDL) como se muestra en Nakamura *et al.* 2003, J. Periodontal Res. 38,597-605.

Las proteínas relacionadas con GDF-5 como se define en el presente documento comprenden un dominio de nudo 10 de cistina con una identidad de aminoácidos de al menos el 60%, preferentemente al menos el 75%, más preferentemente al menos el 80%, más preferentemente al menos el 90% y lo más preferente es que sea al menos el 95%, con el dominio de nudo de cistina de 102 aa de GDF-5 humana. Un valor limitante del 60% es bien adecuado para separar los miembros del grupo GDF-5/-6/-7 de proteínas así como variantes del mismo de proteínas adicionales tales como otros GDF-5 y BMP. Una comparación de los dominios de nudo de cistina de 102 aa de 15 GDF-5 humana, GDF-6 humana y GDF-7 humana (Figura 2) muestra el alto grado de identidad de aminoácidos entre estas proteínas. GDF-6 humana comparte 87 (el 85%) y GDF-7 humana 83 (el 81%) restos idénticos con el dominio de nudo de cistina de GDF-5 humana. Los dominios respectivos de moléculas de GDF-5/-6/-7 a partir de otras especies de vertebrados y mamíferos que se han identificado hasta ahora también muestran porcentajes de 20 identidad muy elevados de al menos el 75% (entre el 79% y el 99%), cuando se comparan con GDF-5 humana (Figura 4). Por el contrario, los GDF y BMP que no pertenecen al subgrupo de GDF-5/-6/-7 presentan valores de identidad mucho más bajos por debajo del 60%.

La determinación de posiciones de aminoácido en secuencias de aminoácidos relacionadas así como el cálculo o porcentaje de identidad entre los mismos se puede realizar con la ayuda de algoritmos de alineamiento bien conocidos y opcionalmente programas informáticos que usan estos algoritmos. Las identidades de aminoácido en esta solicitud de patente se han calculado mediante el alineamiento de secuencias con el programa gratuito ClustalX (Versión 1.81) con parámetros por defecto y recuento posterior de restos idénticos manualmente. Los ajustes por defecto para alineamiento por pares (baja precisión) son: parámetro de apertura de hueco: 10,00; parámetro de extensión de hueco 0,10; matriz de peso de Proteína: Gonnet 250. El programa ClustalX se describe con detalle en:

25

30

35

40

55

Thompson, J.D., Gibson, T.J., Plewniak, F., Jeanmougin, F. y Higgins, D.G. (1997) The ClustalX windows interface: flexible strategies for multiple sequence alignment aided by quality analysis tools. Nucleic Acids Research 24:4876-4882

ClustalX es una interfaz de Windows para el programa de alineamiento múltiple de secuencias ClustalW y está, es decir, disponible a partir de diversas fuentes, es decir mediante ftp anónimo de ftp-igbmc.u-strasbg.fr, ftp.embl-heidelberg.de, ftp.ebi.ac.uk o a través de la descarga a partir de la siguiente página web: http://www-igbmc.u-strasbg.fr/BioInfo/. El programa ClustalW y el algoritmo también se describen en detalle en:

Thompson, J. D., Higgins, D. G. and Gibson, T.J. (1994) CLUSTALW: improving the sensitivity of progressive multiple sequence alignment through sequence weighting, positions-specific gap penalties and weight matrix choice. Nucleic Acids Research 22:4673-4680.

Los mutantes ML de acuerdo con la invención que se obtienen a partir de proteínas relacionadas con GDF-5 generalmente son aplicables en cualquier indicación en la cual proteínas relacionadas con GDF-5 tales como GDF-5, GDF-6 y GDF-7 también son útiles. Se ha demostrado que proteínas relacionadas con GDF-5 son inductoras y reguladoras/diferenciadoras importantes de, es decir, hueso y cartílago (Cheng et al. 2003, J. Bone & Joint Surg. Am. 85-A, 1544-1552; Settle et al. 2003, Developm. Biol. 254, 116-130), tejido conectivo tal como tendón y ligamento (Wolfman et al. 1997, J. Clin. Invest. 100, 321-330), tejido nervioso (Farkas et al. 1997, Neurosci Lett. 236,120-122; Watakabe et al. 2001, J. Neurochem. 76, 1455-1464), células madre (Shimaoka et al. 2003, J. Biomed. Materials Res. Part A 68A, 168-176; Bal et al. 2004, Biochem. Biophys. Res. Commun. 325, 453-460) y ligamento periodontal y dientes (Sena et al 2003, J. Dent. Res. 82, 166-171; Morotome et al, 1998, Biochem. Biophys. Res. Commun. 244, 85-90).

Los mutantes ML de la presente invención comprenden una secuencia que coincide con una de las siguientes secuencias de aminoácidos genéricas

a) $CX_1X_2KX_3LHVX_4FX_5X_6X_7GWDDWX_8IAPLX_9YEAX_{10}HCX_{11}GX_{12}CX_{13}FPX_{14}RSHLEPTNHAX_{15} \\ IQTLZTNSMX_{16}PX_{17}X_{18}X_{19}PX_{201}X_{21}CCVPX_{22}X_{23}LX_{24}PISILX_{25}X_{26}DX_{27}X_{28}NNVVY \\ X_{29}X_{30}YEX_{31}MVVEX_{32}CGCR o$

b) CX₁X₂KX₃LHVX₄FX₅X₆X₇GWDDWX₈IAPLX₉YEAX₁₀HCX₁₁GX₁₂CX₁₃FPX₁₄RSH LEPTNHAX₁₅

65 IQTLMNSZ₂X₁₆PX₁₇X₁₈X₁₉PX₂₀₁X₂₁CCVPX₂₂X₂₃LX₂₄PISILX₂₅X₂₆DX₂₈NNVVYX₂₉X₃₀YEX₃₁MVVEX₃₂CGCR o

c) CX₁X₂KX₃LHVX₄FX₅X₆X₇GWDDWX₈IAPLX₉YEAX₁₀HCX₁₁GX₁₂CX₁₃FPX₁₄RSH LEPTNHAX₁₅

		₂ X ₁₆ PX ₁₇ X ₁₈ X ₁₉ PX ₂₀₁ X ₂₁ CCVPX ₂₂ X ₂₃ LPISILX ₂₅ X ₂₆ DX ₂₇ X ₂₈ NNVV (₃₁ MVVEX ₃₂ CGCR
_	y en la que	
5	cada X	indica cualquier aminoácido,
10	Z ₁ Z ₂	indica alanina (A), isoleucina (I) o valina (V), indica alanina (A), isoleucina (I) o valina (V).
10	y en la que	
	X_1	indica asparagina (N) o serina (S)
15	X ₂	indica arginina (R) o lisina (K)
	X ₃	indica alanina (A), glutamina (Q), prolina (P) o serina (S)
20	X_4	indica asparagina (N) o ácido aspártico (D)
20	X ₅	indica arginina (R) o lisina (K)
	X ₆	indica ácido aspártico (D) o ácido glutámico (E)
25	X ₇	indica leucina (L) o metionina (M)
	X ₈	indica isoleucina (I) o valina (V)
20	X ₉	indica ácido aspártico (D) o ácido glutámico (E)
30	X ₁₀	indica histidina (H), fenilalanina (F) o tirosina (Y)
	X ₁₁	indica ácido aspártico (D) o ácido glutámico (E)
35	X ₁₂	indica leucina (L), metionina (M) o valina (V)
	X ₁₃	indica ácido aspártico (D) o ácido glutámico (E)
40	X ₁₄	indica isoleucina (I) o leucina (L)
40	X ₁₅	indica isoleucina (I) o valina (V)
	X ₁₆	indica alanina (A), asparagina (N) o ácido aspártico (D)
45	X ₁₇	indica arginina (R), asparagina (N), ácido aspártico (D), ácido glutámico (E), glicina (G) o serina (S)
	X ₁₈	indica alanina (A), asparagina (N), serina (S) o treonina (T)
50	X ₁₉	indica alanina (A), metionina (M) o treonina (T)
50	X ₂₀	indica alanina (A) o prolina (P)
	X ₂₁	indica serina (S) o treonina (T)
55	X ₂₂	indica alanina (A), serina (S) o treonina (T)
	X ₂₃	indica arginina (R) o lisina (K)
60	X ₂₄	indica serina (S) o treonina (T)
60	X ₂₅	indica fenilalanina (F) o tirosina (Y)
	X ₂₆	indica isoleucina (I) o treonina (T)
65	X ₂₇ X ₂₈	indica alanina (A) o serina (S) indica alanina (A) o glicina (G)

	X ₂₉	indica asparagina (N) o lisina (K)
	X ₃₀	indica ácido glutámico (E) o glutamina (Q)
5	X ₃₁	indica ácido aspártico (D) o ácido glutámico (E),
	X ₃₂	indica alanina (A), glutamina (Q), serina (S) o treonina (T)
10	Z_1	indica alanina (A), isoleucina (I) o valina (V),
10	Z_2	indica alanina (A), isoleucina (I) o valina (V),

15

20

25

30

35

40

45

50

55

60

o una secuencia correspondiente en la que la cisteína responsable de la formación de dímeros se sustituye por un aminoácido diferente o se suprime.

Estas secuencias genéricas se han compilado a partir de una comparación de los dominios de nudo de cistina de secuencias de GDF-5, GDF-6 y GDF-7 de vertebrado de acuerdo con la Fig. 3. Las posiciones que no están conservadas en las proteínas alineadas se indican con una X en las secuencias genéricas. Las posiciones que están mutadas de acuerdo con la presente invención se indican con una Z.

En otra realización preferida, la proteína mutante de ML de acuerdo con la invención es un mutante de ML de una proteína GDF-5 de vertebrado o recombinante o una variante de la misma. Más preferidos son los mutantes ML de una proteína GDF-5 de mamífero o variantes de la misma. Los ejemplos de proteínas GDF-5 de vertebrados y mamíferos son: GDF-5 humana (divulgada como MP52 en el documento WO95/04819 y como GDF-5 humana en Hotten et al. 1994, Biochem. Biophys Res. Commun. 204, 646 652), GDF-5/MP52 humana recombinante (documento WO96/33215), MP52 humanas de HMW (documento WO97/04095), CDMP-1 (documento WO96/14335), GDF-5 de ratón (*Mus musculus*) (documento US. 5.801.014), GDF-5 de conejo (*Oryctolagus cuniculus*) (Sanyal et al 2000, Mol Biotechnol. 16, 203-210), GDF-5 de pollo (*Gallus gallus*) (N° de acceso de NCBI NP_989669), GDF-5 de rana africana de uñas (*Xenopus laevis*) (N° de acceso de NCBI AAT99303).

Otra realización preferida de la invención incluye proteínas mutantes ML de proteínas relacionadas con GDF-5 monoméricas. En estas proteínas monoméricas, la cisteína que es responsable de la formación de dímero se sustituye por otro aminoácido o se suprime. Tales proteínas se describen, por ejemplo, en los documentos WO 01/11041 y WO 99/61611, que se incorporan en el presente documento por referencia. Una proteína monomérica especialmente preferida es GDF - 5 monomérica recombinante como se divulga en dicha referencia.

En estas realizaciones se incluyen también mutantes ML de versiones alélicas de los genes/proteínas mencionados anteriormente así como mutantes ML de las proteínas de vertebrado, de mamífero y recombinantes o variantes de las mismas que tienen mutaciones adicionales tales como sustituciones, adiciones y supresiones, siempre y cuando estas mutaciones adicionales no tengan un efecto básico sobre la actividad de la proteína y cumplan los requisitos de las reivindicaciones.

En general, el mutante de ML de la proteína GDF-5 de vertebrado o de mamífero o recombinante o variantes de la misma se espera que muestre todas las actividades descritas previamente de GDF-5 y se puede aplicar donde quiera que se usen de forma satisfactoria las formas de GDF-5 de tipo silvestre y recombinante mencionadas anteriormente. Por ejemplo, se considera que GDF-5 es un promotor muy eficaz de formación de hueso y de cartílago así como también de formación de tejido conectivo (véase por ejemplo el documento WO 95/04819, Hötten et al. 1996, Growth Factors 13, 65-74; Storm et al. 1994, Nature 368, 639 643; Chang et al. 1994, J. Biol. Chem. 269, 28227-28234) y la formación de unión de tejido conectivo (documento EP 0 831 884). En este contexto, GDF-5 es útil para aplicaciones que se refieren a articulaciones entre elementos esqueléticos (véase por ejemplo Storm & Kingsley 1996, Development 122, 3969-3979). Un ejemplo para tejido conectivo es tendón y ligamento (Wolfman et al. 1997, J. Clin. Invest. 100, 321-330; Aspenberg & Forslund 1999, Acta Orthop Scand 70, 51-54; documento WO 95/16035). La proteína es útil para reparación de menisco y de disco espinal/intervertebral (Walsh et al. 2004, Spine 29, 156-63) y aplicaciones de fusión espinal (Spiro et al 2000, Biochem Soc trans. 28, 362-368). GDF-5 se puede aplicar de forma beneficiosa en aplicaciones dentales (dental y periodontal) (véanse por ejemplo, los documentos WO 95/04819; WO 93/16099; Morotome et al. 1998, Biochem Biophys Res Comm 244, 85-90) tal como la regeneración de dentina o ligamento periodontal.

GDF-5 también es útil en la reparación de heridas de cualquier tipo. También es beneficioso para promover crecimiento de tejido en el sistema neuronal y en la supervivencia de, por ejemplo, neuronas dopaminérgicas. En este contexto, GDF-5 se puede usar para tratar trastornos neurodegenerativos como, por ejemplo, enfermedad de Parkinson y posiblemente también enfermedad de Alzheimer o tejidos de Corea Huntington (véase por ejemplo, el documento WO 97/03188; Krieglstein et al., (1995) J. Neurosci Res 42, 724-732; Sullivan et al., (1997) Neurosci Lett 233, 73-76; Sullivan et al. (1998), Eur. J Neurosci 10, 3681-3688). GDF-5 permite mantener la función nerviosa o conservar la función nerviosa en tejidos ya dañados. Por lo tanto GDF-5 se considera que es un factor neurotrófico aplicable de forma general.

También es útil para enfermedades del ojo, en particular retina, córnea y nervio óptico (véase por ejemplo el documento WO 97/03188; You et al (1999), Invest Opthalmol Vis Sci 40, 296-311), para el crecimiento del pelo y el tratamiento y diagnóstico de trastornos relacionados con la piel (documento WO 02/076494; Battaglia et al 2002, Trans. Orthop. Res Soc. 27, 584) y para inducción de angiogénesis (Yamashita et al. 1997, Exp. Cell, Res 235, 218-26).

5

10

15

25

30

35

40

45

50

55

Por otra parte, existe la prevención o la terapia de enfermedades asociadas con daño óseo y/o de cartílago o que influyen sobre enfermedad ósea y/o de cartílago o situaciones en general en las cuales se desea la formación de cartílago y/o de hueso o para fusión espinal y por otra parte, existe la prevención o terapia de tejido dañado o enfermo asociado con tejido conectivo incluyendo tendón y/o ligamento, tejido periodontal o dental incluyendo implantes dentales, tejido neuronal incluyendo tejido del SNC y situaciones neuropatológicas, tejido del sistema sensorial, hígado, páncreas, cardiaco, vasos sanguíneos, renal, uterino y tejido tiroideo, piel, membranas mucosas, endotelio, epitelio, para promoción o inducción de crecimiento nervioso, regeneración tisular, angiogénesis, curación de heridas incluyendo úlceras, quemaduras, lesiones o injertos de piel, inducción o proliferación de células progenitoras o células de médula ósea, para el mantenimiento de un estado de proliferación o diferenciación para el tratamiento o conservación de tejidos o células para trasplante de órgano o tejido, para la integridad del revestimiento gastrointestinal, para tratamiento de alteraciones en la fertilidad, anticoncepción o embarazo.

Las enfermedades relacionadas con órganos sensoriales como el ojo también se deben incluir en la indicación preferida de la composición farmacéutica de acuerdo con la invención. Como enfermedades neuronales, nuevamente se pueden mencionar como ejemplos las enfermedades de Parkinson y Alzheimer.

El Ejemplo 3 y la FIG. 6 describen los resultados de un ensayo de fosfatasa alcalina con GDF-5 humana recombinante (documento WO96/33215) y el mutante de ML M453V/M456V de GDF-5 humana recombinante (rhGDF-5). GDF-5 humana recombinante se usó como patrón/control con actividad biológica del 100%. La proteína mutante muestra una actividad biológica del 585,5% (a 133 ng/ml), el 356,3% (a 400 ng/ml) y el 236,3% (a 1200 ng/ml) de la actividad de la proteína de tipo silvestre (rh-GDF-5) en este ensayo (promedio de múltiples experimentos). Por tanto, la actividad promedio es 585,5 + 356,3 + 236,3: 3 = 392,7% de la actividad de la proteína de tipo silvestre (rh-GDF-5). La actividad mínima medida para el mutante a una concentración de proteína única y en un experimento único fue el 150% de la actividad de la proteína de tipo silvestre.

Los mutantes ML de acuerdo con la invención se pueden producir fácilmente en diversos sistemas de expresión procariotas y eucariotas, en particular mediante expresión en procariotas y posterior renaturalización/replegamiento de acuerdo con métodos conocidos (véase, por ejemplo el documento WO96/33215).

Una materia objeto adicional de la presente invención es un ácido nucleico que codifica un mutante de ML de acuerdo con la invención. El ácido nucleico tiene una secuencia de forma que se consiga una sustitución de uno o ambos restos equivalentes a M453 y M456 de GDF-5 humana con uno de los aminoácidos especificados de la presente solicitud. Los tripletes de bases que codifican estos aminoácidos y la degeneración del código genético se conocen de forma general. El ácido nucleico puede ser una secuencia de ADN y/o una secuencia de ARN, siempre y cuando la proteína de acuerdo con la invención se pueda obtener a partir de este ácido nucleico tras la expresión en un sistema adecuado.

Los vectores de expresión son una materia objeto adicional de la presente invención, en los que el ácido nucleico se inserta en un sistema de vector adecuado, seleccionándose el sistema de vector de acuerdo con la expresión deseada de la proteína. El sistema de vector puede ser un sistema de vector eucariota, pero se prefiere un sistema de vector procariota, con lo cual las proteínas se pueden producir de una manera particularmente fácil y pura. Un vector de expresión adecuado se muestra, por ejemplo, en el documento WO96/33215. El vector de expresión también puede ser un vector viral que se puede usar, es decir, en enfoques de terapia génica.

Las células hospedadoras también son una materia objeto de la presente invención. Las células hospedadoras se caracterizan porque las mismas contienen un ácido nucleico o un vector de expresión de acuerdo con la invención y las mismas son capaces de usar la información presente en los ácidos nucleicos y en el vector de expresión, respectivamente, para la expresión de mutantes ML de acuerdo con la invención. Las células hospedadoras adecuadas son preferentemente células procariotas, en particular la mayoría de las cepas de *E. coli*. Las cepas hospedadoras particularmente útiles son descendientes de *E. coli* W3110 como se muestra, por ejemplo, en el documento WO96/33215. En una realización preferida, las células hospedadoras, preferentemente de origen humano, también pueden ser útiles para trasplante a pacientes que las necesitan.

Otra materia objeto de la presente invención son anticuerpos frente a mutantes ML. Estos anticuerpos de acuerdo con la presente invención son específicos para el mutante de ML recombinante reivindicado. Los mismos son específicos para las regiones de nudo de cistina de proteínas relacionadas con GDF-5 que contienen uno o más de los reemplazos de aminoácidos descritos en el presente documento. Los anticuerpos son específicos para una región de una proteína recombinante obtenida a partir de una proteína relacionada con GDF de acuerdo con la invención que abarca los aminoácidos 453-456. Estos anticuerpos de acuerdo con la presente invención se pueden generar usando aquellos fragmentos de la proteína de la invención como se ha descrito anteriormente como

inmunógenos para generar anticuerpos mediante métodos conocidos. Los anticuerpos pueden ser monoclonales o policionales y los mismos pueden ser de cualquier isotipo. También están comprendidos fragmentos de anticuerpo tales como fragmentos Fab o fragmentos Fab2. Los anticuerpos también pueden ser anticuerpos humanizados o anticuerpos quiméricos etc.

5

10

15

20

Materias objeto adicionales de la presente solicitud son composiciones farmacéuticas y/o de diagnóstico que comprenden al menos un mutante de ML de una proteína relacionada con GDF-5 o un ácido nucleico o un vector o una célula hospedadora de acuerdo con la invención. En general son adecuadas todas las composiciones farmacéuticas que se han publicado en el contexto de proteínas relacionadas con GDF-5. Un vector de expresión o una célula hospedadora se puede considerar que es provechosa como sustancias activas en una composición farmacéutica y/o de diagnóstico. También las combinaciones de una proteína de acuerdo con la invención con otras proteínas se pueden usar en composiciones farmacéuticas preferidas. Especialmente preferidas para aplicaciones neuronales son las combinaciones con otras proteínas de la superfamilia de TGF-beta tales como, por ejemplo GDNF (véase el documento WO 97/03188). Para aplicaciones que se refieren a cartílago v/o hueso la combinación con BMP en general o con una proteína inductora del mantenimiento de cartílago tal como BMP-9 (véase por ejemplo, el documento WO 96/39170) es útil. Las combinaciones con otras proteínas tales como, por ejemplo, NGF, BDNF, EGF, PDGF, NT-3, -4, -5, cordina y/o proteínas hedgehog también son posibles (véase por ejemplo, el documento WO97/03188). Por supuesto la presente invención también comprende composiciones farmacéuticas que contienen sustancias adicionales como, por ejemplo, sustancias auxiliares y de vehículo farmacológicamente aceptables. La formulación puede incluir antioxidantes, conservantes, agentes colorantes, saporíferos y emulsificantes, agentes de suspensión, disolventes, cargas, agentes de volumen, tampones, vehículos de administración, excipientes y/o adyuvantes farmacéuticos. Por ejemplo, un medio de soporte o vehículo adecuado puede ser agua para inyección, solución salina fisiológica o una solución salina mezclada con una proteína transportadora adecuada tal como albúmina sérica. Un antioxidante preferido para la preparación de la composición de la presente invención es ácido ascórbico.

25

Las composiciones cosméticas conocidas en la técnica, preferentemente hipoalergénicas y de pH controlado son especialmente preferidas e incluyen aguas de tocador, empaques, lociones, leches para la piel o lociones lechosas. Dichas preparaciones contienen, además del compuesto activo, componentes usados habitualmente en tales preparaciones. Los ejemplos de tales componentes son aceites, grasas, ceras, tensioactivos, humectantes, agentes espesantes, antioxidantes, estabilizantes de viscosidad, agentes quelantes, tampones, conservantes, perfumes, colorantes, alcanoles inferiores y similares. Si se desea, se pueden incorporar ingredientes adicionales en las composiciones, por ejemplo, agentes antiinflamatorios, antibacterianos, antifúngicos, desinfectantes, vitaminas, protectores solares, antibióticos u otros agentes antiacné.

35

40

45

50

30

El disolvente o diluyente de la composición farmacéutica puede ser acuoso o no acuoso y puede contener otros excipientes farmacéuticamente aceptables que son capaces de modificar y/o mantener un pH, osmolaridad, viscosidad, transparencia, escala, esterilidad, estabilidad, velocidad de disolución u olor de la formulación. De forma similar otros componentes se pueden incluir en la composición farmacéutica de acuerdo con la presente invención con el fin de modificar y/o mantener la velocidad de liberación de la sustancia farmacéuticamente eficaz. Tales componentes modificadores son sustancias usadas habitualmente en la técnica con el fin de formular dosis para administración parenteral en forma unitaria o multidosis. La composición farmacéutica y/o de diagnóstico formulada finalmente preparada de acuerdo con la presente invención se puede almacenar en viales estériles en forma de una solución, suspensión, gel, emulsión, sólido o polvo deshidratado o liofilizado. Estas formulaciones se pueden almacenar en una forma lista para su uso o en una forma, por ejemplo, en el caso de un polvo liofilizado, que requiere la reconstitución antes de la administración. Las formulaciones farmacéuticas adecuadas anteriores y adicionales se conocen en la técnica y se describen en, por ejemplo, Gus Remington Pharmaceutical Sciences (18ª Ed., Mack Publishing Co., Eastern, Pa., 1990, 1435-1712). Tales formulaciones pueden influir sobre el estado fisiológico, la estabilidad, la velocidad de liberación in vivo y velocidad de eliminación in vivo del componente farmacéuticamente eficaz. Otras formas de administración eficaces comprenden formulaciones parenterales de liberación lenta, es decir, retardada, formulaciones, brumas para inhalación o formulaciones activas por vía oral. Por ejemplo, una formulación de liberación lenta puede comprender proteínas unidas o incluidas en preparaciones particuladas de compuestos poliméricos (tales como ácido poliláctico, ácido poliglicólico, etc.) o liposomas. La composición farmacéutica de acuerdo con la presente invención también se puede formular para administración parenteral, por ejemplo, mediante infusión o inyección y también puede incluir formulaciones de liberación lenta o de circulación sostenida. Tales composiciones terapéuticas administradas por vía parenteral típicamente están en forma de soluciones acuosas sin pirógenos parenteralmente aceptables que comprenden el componente o los componentes farmacéuticamente eficaces en un vehículo y/o diluyente farmacéuticamente aceptable.

60

La composición farmacéutica puede comprender un material de matriz, es decir, en casos en los que la regeneración de hueso o cartílago se pretende. Es provechoso para la proteína, el ácido nucleico, el vector de expresión o la célula hospedadora cuando los mismos se aplican en y/o sobre un material de matriz biocompatible. El material de matriz usado en el presente documento significa un vehículo o matriz que actúa como un armazón para el reclutamiento, la fijación, la proliferación y diferenciación celular y/o como un dispositivo de administración potencial y almacenamiento para mutantes ML de proteínas relacionadas con GDF-5. Por el contrario a las matrices sólidas, los vehículos consisten en materiales amorfos que no tienen superficies definidas y que carecen de una forma

específica, es decir, alquilcelulosa, plurónicos, gelatinas, polietilen glicoles, dextrinas, aceites vegetales, azúcares y otras sustancias líquidas y viscosas.

Los usos de las proteínas relacionadas con GDF-5 o morfógenos similares tales como BMP en combinación con materiales de matriz se han publicado y descrito de forma exhaustiva, tal como por ejemplo en el documento WO98/21972. Estos materiales de matriz son igualmente adecuados para mutantes ML de acuerdo con la invención. El material de matriz se puede trasplantar al paciente, por ejemplo, quirúrgicamente, donde la proteína o el ADN que codifica la proteína se puede liberar lentamente a partir del material de matriz y después ser eficaz durante un período de tiempo prolongado. Todos los tipos de materiales de matriz son útiles de acuerdo con la presente invención, siempre y cuando los mismos sean biocompatibles y se seleccionen para el área o indicación de uso pretendidos. El material de matriz puede ser un material natural, un material natural modificado, así como un material sintético. Todas las matrices conocidas para proteínas morfogenéticas están incluidas. Los ejemplos de materiales naturales son, por ejemplo, materiales óseos autólogos, heterólogos o xenólogos, colágeno, por ejemplo, colágeno de tipo I y III o metales como titanio. También se pueden usar otros componentes de la matriz extracelular. La matriz extracelular comprende por ejemplo los diversos colágenos, tales como por ejemplo los tipos I, II, V, IX, X, XI y XIII, proteoglicanos y glicosaminoglicanos adicionales, como por ejemplo condroitinsulfato, biglicano, decorina y/o ácido hialurónico o proteínas no colágenas tales como por ejemplo osteonectina, laminina, fibronectina, vitronectina, trombospondina, proteína de matriz de cartílago y fosfoproteína de dentina. Todos los materiales naturales mencionados también se pueden usar en formas modificadas artificialmente. Los ejemplos de materiales naturales modificados son hueso desmineralizado, mineral óseo incinerado, hueso sinterizado o ácido hialurónico químicamente reticulado (hidrogel) o aleaciones metálicas. Los ejemplos de materiales sintéticos son polímeros como ácido poliglicólico, poliláctido y derivados de poliláctido tales como, por ejemplo, ácido poliláctico, poli(láctidoco-glicólido), ácido polifactido-polietilenglicol o copolímeros de glicólido L-láctido, polifosfatos adicionales, polietilenglicol, copolímeros de polioxietileno-polioxipropileno o materiales que contienen fosfatos de calcio tales como fosfato beta tricálcico (Ca3(PO4)2), fosfato alfa-tricálcico y apatita de hidroxilo. Los ejemplos adicionales de otros materiales de matriz útiles que pertenecen a uno de los grupos mencionados anteriormente son Ca(OH)2, coral, mineral óseo natural, chitina, partículas óseas no desmineralizadas, partículas óseas cerámicas, dentina cerámica, trozos de hueso esponjoso irradiado, yeso de París, vidrio bioactivo, vitrocerámica que contiene apatitawollastonita. También una combinación de los vehículos y/o matrices mencionados anteriormente puede formar el material de matriz como por ejemplo la combinación de hidroxiapatita y colágeno (por ejemplo, Healos, disponible previamente en Orquest, Inc., CA, USA, [ahora DePuy Acromed, MA, USA]), una combinación de ácido poliglicólico y ácido poliláctico o derivados de poliláctido o compuestos de coral-colágeno. Para una lista no limitante de vehículos y matrices útiles véase adicionalmente, por ejemplo, Kirker-Head 2000, Advanced Drug Delivery 43, 65-92.

35 Los siguientes ejemplos no limitantes junto con las figuras y protocolos de secuencia tienen por objeto ilustrar adicionalmente la invención.

Las SEC ID Nº 1 y 2 muestran la secuencia de ADN y proteínas del precursor de GDF-5 humana. En los mutantes de proteína GDF-5 humana preferidos con actividad biológica mejorada, el resto de metionina en la posición 453 y/o el resto de metionina en la posición 456 se sustituyen con otros aminoácidos.

La FIG. 1 muestra características adicionales de la proteína precursora de GDF-5 humana de acuerdo con SEC ID Nº 1:

```
aa 001-381 pre-prodominio (letras en negritas)
aa 382-501 parte de la proteína madura
aa 400 501 dominio de nudo de cistina (subrayado)
aa 453 Resto de metionina 453 (recuadro gris)
aa 456 Resto de metionina 456 (recuadro gris)
```

45

50

55

40

10

15

20

25

La FIG. 2 muestra una comparación de los dominios de nudo cistina de 102 aa de GDF-5 humana (SEC ID Nº 1), GDF-6 humana (secuencia 2 de la patente de los Estados Unidos 5.658.882) y GDF-7 humana (secuencia 26 de la patente de Estados Unidos 5.658.882). Los restos de aminoácido que son idénticos en las tres moléculas se resaltan en negro. Los restos M453 y M456 de GDF-5 humana y los restos equivalentes de GDF-6 y GDF-7 humana se marcan mediante flechas.

La FIG. 3 muestra una comparación de los dominios de nudo de cistina de 102 aa de secuencias de GDF-5, -6 y -7 de vertebrado del género *Homo*, además *Cercopithecus, Macaca, Bos, Mus, Gallus Danio* y *Xenopus*, que están disponibles en la base de datos de proteínas de NCBI de "Entrez" (http://www.ncbi.nlm.nih.gov/Entrez/) con los números de acceso mostrados en la figura. Los restos de M453 y M456 de GDF-5 humana y restos equivalentes de otras proteínas están marcados mediante flechas.

La FIG. 4 muestra una tabla con las identidades de secuencia de los dominios de nudo de cistina de BMP y GDF conocidos para el dominio de nudo de cistina de GDF-5 humana.

60

La FIG. 5 muestra los resultados de un ensayo de fosfatasa alcalina (ALP) con GDF-5 humana recombinante (rh-

GDF-5) y mutante de ML de hGDF-5 M453V/M456V (como se describe en el ejemplo 2).

La FIG. 6 muestra cortes histológicos (tinción de Rojo de Alizarina-S de calcio formado recientemente) y tomografías computarizadas µCT de estructuras tratadas con factor del crecimiento 4 semanas después del implante en ratones SCID de acuerdo con el ejemplo 3.

La FIG. 7 muestra una estimación de la formación ósea nueva de las estructuras de acuerdo con el ejemplo 3. En cada grupo, se examinaron tres animales (n = 3) y se determinó un valor acumulado. Se usó la siguiente escala:

sin hueso 0 1-10% de hueso 1 10-50 % de hueso 2 50-100 % de hueso 3

10 Ejemplo 1: Creación, expresión y purificación de mutantes ML

Los ADN que codifican las partes maduras de proteínas GDF-5 humana, GDF-6 humana y GDF-7 humana se han aislado a partir de células osteoprogenitoras ROB-C26 humanas (Yamaguchi *et al.* 1991, Calcif. Tissue Int. 49, 221-225) a través de técnica de RT-PCR y posteriormente se han ligado en vectores plasmídicos procariotas. Con el fin de identificar restos de aminoácido funcionalmente importantes en las partes maduras de GDF-5, 6 y 7, se han introducido diversas mutaciones únicas en estas secuencias a través de mutagénesis dirigida. Todas las mutaciones individuales se crearon usando el kit de mutagénesis dirigida QuickChange™ con la ADN polimerasa PfuTurbo™ y la endonucleasa DPN I de Stratagene de acuerdo con el manual de instrucción del fabricante.

Usando la cepa bacteriana W3110BP transformada con los plásmidos e inducida con IPTG, las proteínas se expresaron en cuerpos de inclusión. Estos cuerpos de inclusión se aislaron usando un tampón de homogeneización (Tris HCl 25 mM pH 7,3, EDTA NaOH 10 mM, pH 8, urea 8 M) y tampón de lavado (urea 1 M, Tris HCl 20 mM, pH 8,3, EDTA NaOH 10 mM, pH 8,0) de acuerdo con procedimientos convencionales. La purificación adicional se llevó a cabo en una columna de fase inversa Aquapore octilo (Applied Biosys, (VC = 7,8 ml) 100 x 10, 20 μ, N° 186470)
 con un gradiente del 100% de eluyente A (TFA al 0,1%, HPLC H₂O) al 100% de eluyente B (TFA al 0,1%, CH₃N al 90%, HPLC H₂O) en 104 minutos (caudal: 3 ml/min). Después de un control con transferencia de western, las fracciones que contenían la proteína mutante se combinaron y se liofilizaron.

Las proteínas mutantes se disolvieron en tampón de disolución (guanidina HCl 6 M, Tris 50 mM, NaCl 150 mM, DTT 3 mM, pH = 8,0), la concentración de proteína se ajustó exactamente a 2,6 mg/ml y el pH se ajustó entre 8 y 9. Después de incubación de 2 h a temperatura ambiente, se añadió tampón de plegado (NaCl 1 M, Tris 50 mM, EDTA 5 mM, GSSG 1 mM, GSH 2 mM, Chaps 33 mM, pH = 9,5) con agitación suave para alcanzar una concentración final de 0,16 mg/ml.

La solución se incubó posteriormente durante 48 h a 22°C y el plegado se detuvo cambiando el pH a 3-4 mediante la adición de HCl al 18%. Después de centrifugación, el monómero no plegado se separó de la forma de dímero llevando a cabo una segunda RP-HPLC en las mismas condiciones. Las fracciones que contenían la proteína dimerizada se combinaron, liofilizaron y almacenaron a -70°C.

40 Ejemplo 2: Medición de la actividad biológica de mutantes ML in vitro mediante ensayo de ALP

1 x 10⁴ células de la línea de células osteo/condroprogenitoras ATDC-5 se incubaron durante una noche en placas de 96 pocillos en medio de cultivo celular (alfa-MEM, penicilina/estreptomicina, L-glutamina 2 mM, FCS al 10%) a 37°C, CO2 al 5%, saturado con agua. Al día siguiente, las células se estimularon con las proteínas relacionadas con GDF-5 y los mutantes de la misma durante 72 h con concentraciones de ligando indicadas. Las células se lavaron posteriormente con PBS (solución salina tamponada con fosfato). La lisis celular se realizó en 100 μl de tampón de lisis alcalina 1 (glicina 0,1 M, pH 9,6, NP-40 al 1%, MgCl₂ 1 mM, ZnCl₂ 1 mM) durante 1 h a temperatura ambiente. Después se añadieron 100 μl de tampón de lisis alcalina 2 (glicina 0,1 M, pH 9,6, MgCl₂ 1 mM, ZnCl₂ 1 mM + 2 mg/ml de PNPP). Las placas se incubaron a 37°C, CO₂ al 5%, saturado con agua. La reacción de ALP se detuvo después con 100 μl de 30 g/l de NaOH y finalmente la densidad óptica se midió con un lector de microplaca automático a 405 nm bajo la consideración de resta del valor de blanco.

Como un ejemplo, los resultados (valores promedio de 2 experimentos independientes) con respecto a mutante de hGDF-5 M453V/M456V se muestran en la FIG. 5. La proteína mutante muestra una actividad biológica del 585,5% (a 133 ng/ml), 356,3% (a 400 ng/ml) y 236,3% (a 1200 ng/ml) de la actividad de la proteína de tipo silvestre (rh-GDF-5) en este ensayo (promedio de múltiples experimentos). La actividad mínima se midió para el mutante a una concentración de proteína única y en un experimento único fue el 150% de la actividad de la proteína de tipo silvestre.

Ejemplo 3:

Formación ósea ectópica in vivo: un modelo de ratón SCID para rhGDF 5, rhGDF-5 M453V/M456V y BMP-2

Las capacidades de inducción ósea mejorada de los mutantes ML de proteínas relacionadas con GDF-5 también se verificaron in vivo. Se usaron cerámicas de fosfato beta-tricálcico (chronOS®, Synthes/RMS Foundation) como biomateriales biodegradables con un tamaño de 3x3x3,5 mm. Se disolvieron factores del crecimiento en acetato de sodio pH 4 de la forma siguiente: rhGDF-5 en una concentración de 10 μg en 7 μl; rhGDF-5 M453V/M456V en una concentración de 10 μg en 9 μl y BMP-2 (Induct OS Wyeth® Lot-N°, 20603) se disolvió en primer lugar en agua estéril en una concentración de 3 mg/ml y después se disolvió en acetato de sodio en una concentración de 10 µg en 10 7 µl. Los controles se saturaron con 7 µl de acetato de sodio. Después de recubiertas las estructuras se secaron posteriormente durante 10 minutos y se almacenaron a -20° celsius. Antes del implante, los armazones se cargaron con 10 µl de fibronectina. En este estudio, se usaron ratones inmunodeficientes combinados severos (SCID), (30 +/-2 g). Bajo anestesia general i.p., se creó una bolsa subcutánea de forma roma a través de una incisión de un centímetro en la espalda. Una estructura cargada se insertó en la bolsa. La herida se cerró con suturas 15 interrumpidas únicas. Los animales se sacrificaron después de cuatro semanas y las estructuras se recogieron. Se realizó histología y tomografías computarizadas μCT (μCT 80 SCANCO MEDICAL). Para histología, las estructuras se incrustaron en cera de parafina y cortes de 5 µm de espesor se tiñeron con rojo de alizarina-S (al 0,5%) y verde rápido (al 0.04%) para demostrar el calcio nuevo construido dentro de las estructuras.

Los resultados se presentan en las Figs. 6 y 7. Los controles no tenían signos de formación ósea ectópica nueva. Las estructuras que se cargaron con rhGDF-5 mostraron una cantidad media de hueso construido recientemente con alguna formación ósea en la estructura. RhGDF-5 M453V/M456V tenía el valor más alto de formación ósea nueva. Las estructuras cargadas con rhGDF-5 453V/M456V mostraron hueso prominente en la estructura. Las estructuras tratadas con BMP-2 mostraron hueso prominente en las estructuras pero sin ser homogéneas como en las estructuras cargadas con rhGDF-5 453V/M456V. En resumen, los resultados confirmaron que rhgdf-5 453V/M456V conduce a formación ósea potenciada de forma marcada en este modelo de ratón SCID.

LISTADO DE SECUENCIAS

<110> Biopharm Gesellschaft zur biotechnologischen Entwicklung von Pharmaka mbH

5 <120> Mutantes de Factor del Crecimiento de Actividad Elevada

<130> 36878PEP

<160> 2

10

<170> PatentIn versión 3.3

<210> 1

<211> 2703

15 <212> ADN

<213> Homo sapiens

<220>

<221> CDS

20 <222> (640)..(2142)

<400> 1

ccatggc	ctc (gaaaç	ggca	ag cç	gtg	tttt	: ttt	caca	taa	atat	atc	jca (cttaa	aa t gag	66)
tttagac	agc a	atgac	atca	ıg aç	jagti	atta	aat	tggt	ttg	ggtt	ggaa	itt (ccgtt	tccaa	120)
ttectga	gtt (caggt	ttgt	a ac	agat	ttt	: c t g	ragca	ecct	gcag	gcct	gt (gagte	gtgtgt	180	0
gtgtgtg	tgt (gtgtg	jtgtç	jt gt	gtgt	gtga	agt	attt	tca	ctgg	aaag	ga '	ttcaa	aacta	240)
ggggaa	aaa e	eaac	tgg:	ıg Çe	ıcaça	ıggç	gça	ttac	g¢¢	atto	ttc	tt (cttgg	gaaaaa	300	0
tecetea	gcc 1	ttata	caaç	jc ct	ccti	:caaç	ccc	tcaç	tca	gttç	ştgca	igg (agaaa	3 G G G G	360)
cggttgg:	ctt (tetec	ttt	a aç	jaacq	jagti	att	ttca	igct	gctç	acto	ga 🤉	gacgo	gtgcac	420)
gtetgga	tac (gagag	jcatt	t co	cacte	tggg	, act	ggat	aça	aaça	caca	icc (cggca	agactt	480)
caagagt	ctc a	agact	gagg	ja ga	aago	ctti	cct	tctq	gctg	ctac	tgct	:gc	tgccç	gctgct	540)
tttgaaaq	gt¢ (cacto	ctt	c at	ggtt	ttt	ctg	ccaa	acc	agaç	gcac	ect	ttgct	gctgc	600)
cgctgtt	ctc 1	tttgg	jtgto	a tt	cago	gget	ggc	:Caga	1				ccc a Pro I		654	ŀ
ctc ctc Leu Leu	act Thr	ttc Phe	ttg Leu 10	ctt Leu	tgg TIP	tac Tyr	ctg Leu	gct Ala 15	tgg Trp	ctg Leu	gac Asp	ctg Leu	gaa Glu 20	ttc Phe	702	2
atc tgc Ile Cys															75()
acc agg Thr Arg															798	3
gcc cgg Ala Arg 55															846	5
acc aat Thr Asn 70															894	1

								ecc Pro								942
								cac His 110								990
								gga Gly								1038
								agc Ser								1086
								Pro								1134
								ctc Leu								1182
								agc Ser 190								1230
								att Ile								1278
							Arg	tac Tyr								1326
								gag Glu								1374
								gcc Ala								1422
								agc Ser 270								1470
								ctg Leu								1518
ttc Phe	gac Asp 295	atc Ile	tgg Trp	aag Lys	ctc Leu	ttc Phe 300	cga Arg	aac Asn	ttt Phe	aag Lys	aac Asn 305	tcg Ser	gcc Ala	cag Gln	ctg Leu	1566
								cgg Arg								1614
ggc Gly	ctg Leu	ggc Gly	ttc Phe	gac Asp 330	ege Arg	gcc Ala	gcc Ala	Arg ¢gg	cag Gln 335	gtc Val	cac His	gag Glu	aag Lys	gcc Ala 340	ctg Leu	1662
ttc Phe	ctg Leu	gtg Val	ttt Phe 345	Gly g g c	cg¢ Arg	acc Thr	aag Lys	aa a Ly s 350	yığ cğğ	gac Asp	ctg Leu	ttc Phe	ttt Phe 355	aat Asn	g ag Glu	1710

att aag ged ege tet gge eag gad gat aag ace gtg tat gag tad etg Ile Lys Ala Arg Ser Gly Gln Asp Asp Lys Thr Val Tyr Glu Tyr Leu 360 365 370	1758
tte age cag egg ega aaa egg egg gee eea etg gee aet ege eag gge Phe Ser Gln Arg Arg Lys Arg Arg Ala Pro Leu Ala Thr Arg Gln Gly 375 380 385	1806
aag cga ccc agc aag aac ctt aag gct cgc tgc agt cgg aag gca ctg Lys Arg Pro Ser Lys Asn Leu Lys Ala Arg Cys Ser Arg Lys Ala Leu 390 395 400 405	1854
cat gtc aac ttc aag gac atg ggc tgg gac gac tgg atc atc gca ccc His Val Asn Phe Lys Asp Met Gly Trp Asp Asp Trp Ile Ile Ala Pro 410 415 420	1902
ctt gag tac gag gct ttc cac tgc gag ggg ctg tgc gag ttc cca ttg Leu Glu Tyr Glu Ala Phe His Cys Glu Gly Leu Cys Glu Phe Pro Leu 425 430 435	1950
cgc tcc cac ctg gag ccc acg aat cat gca gtc atc cag acc ctg atg Arg Ser His Leu Glu Pro Thr Asn His Ala Val Ile Gln Thr Leu Met 440 445 450	1998
Asc tcc atg gac ccc gag tcc aca ccc acc tgc tgt gtg ccc acg Asn Ser Met Asp Pro Glu Ser Thr Pro Pro Thr Cys Cys Val Pro Thr 455 460 465	2046
cgg ctg agt ccc atc agc atc ctc ttc att gac tct gcc aac aac gtg Arg Leu Ser Pro Ile Ser Ile Leu Phe Ile Asp Ser Ala Asn Asn Val 470 475 480 485	2094
gtg tat aag cag tat gag gac atg gtc gtg gag tcg tgt ggc tgc agg Val Tyr Lys Gln Tyr Glu Asp Met Val Val Glu Ser Cys Gly Cys Arg 490 495 500	2142
tagcageact ggccctctgt ctteetgggt ggcacateee aagageeest teetgcacte	2202
ctggaatcac agaggggtca ggaagctgtg gcaggagcat ctacacagct tgggtgaaag	2262
gggattocaa taagottgot ogotototga gtgtgacttg ggotaaaggo coccititat	2322
ccacaagttc ccctggctga ggattgctgc ccgtctgctg atgtgaccag tggcaggcac	2382
aggtecaggg agacagaete tgaatgggae tgagteecag gaaacagtge ttteegatga	2442
gactcagece accatttete eteaectggg cetteteage etetggacte teetaageae	2502
cteteaggag agecacaggt gecactgeet ceteaaatea catttgtgee tggtgaette	2562
ctgtccctgg gacagttgag aagctgactg ggcaagagtg ggagagaaga ggagagggct	2622
tygatagagt tyaggagtyt gagyctytta yactyttaga tttaaatyta tattyatyay	2682
ataaaaagca aaactgtgcc t	2703

<210> 2 <211> 501 5 <212> PRT <213> Homo sapiens

<400> 2

Met Arg Leu Pro Lys Leu Leu Thr Phe Leu Leu Trp Tyr Leu Ala Trp 1 5 5 10 10 15

10

Leu	Yab	Leu	Glu 20	Phe	īle	Сув	Thr	Val 25	Leu	Gly	Ala	Pro	30 30	Leu	Gly
Gln	Arg	Pro 35	Gln	Gly	Thr	Arg	Pro 40	Gly	Leu	Ala	Lys	Ala 45	Glu	Ala	Lys
Glu	Arg 50	Pro	Pro	Leu	Ala	Arg 55	Asn	val	Phe	Arg	Pro 60	Gly	Gly	eiX	Ser
Tyr 65	Gly	G1y	Gly	Ala	Thr 70	Asp	Ala	Asn	Ala	Arg 75	Ala	Lys	Gly	Gly	Thr 80
Gly	Gln	Thr	Gly	Gly 85	Leu	Thr	Gln	Pro	Lys 90	Lys	Asp	Glu	Pro	Lya 95	Lys
Leu	Pro	Pro	Arg 100	Pro	Сĵу	Gly	Pro	G1u 105	Pro	Lys	Pro	Gly	His 110	Pro	Pro
Gln	Thr	Arg 115	Gln	Ala	Thr	Ala	Arg 120	Thr	Val	Thr	Pro	Lys 125	Gly	Gln	Leu
Pro	Gly 130	Gly	Lys	Ala	Pro	Pro 135	Lys	Ala	Gly	Ser	Val 140	Pro	Ser	Ser	Phe
Leu 145	Leu	Lys	Lys	Ala	Arg 150	Glu	Pro	Gly	Pro	Pro 155	Arg	Glu	Pro	Lys	Glu 160
Pro	Phe	Arg	Pro	Pro 165	Pro	Ile	Thr	Pro	His 170	G1u	Туг	Met	Leu	Ser 175	Leu
Tyr	Arg	Thr	Leu 180	Ser	Asp	Ala	Asp	Arg 185	Lys	Gly	Gly	Asn	Ser 190	Ser	Val
Lys	Leu	Glu 195	Ala	Gly	Leu	Ala	Asn 200	Thr	Ile	Thr	Ser	Ph e 205	Ile	Asp	Lys
Gly	Gln 210	угр	Asp	Arg	Gly	Pro 215	Val	Val	Arg	Lys	Gln 220	Arg	Tyr	Val	Phe
Asp 225	Ile	Ser	Ala	Leu	Glu 230	Lys	Asp	Gly	Leu	Leu 235	Gly	Ala	Glu	Leu	Arg 240
Ile	Leu	Arg	гЛа	Lys 245	Pro	Ser	ДЗÞ	Thr	Ala 250	ŗys	Pro	Ala	Ala	Pro 255	Gly
Gly	Gly	Arg	Ala 260	Ala	Gln	Leu	Lys	Leu 265	Ser	Ser	Суs	Pro	Ser 270	Gly	Arg
Gln	Pro	Ala 275	Ser	Leu	Leu	Asp	Val 280	Arg	Ser	Val	Pro	Gly 285	Leu	Asp	Gly

Ser	Gly 290	Trp	Glu	Val	Phe	Asp 295	Ile	Trp	ŗàa	Leu	Phe 300	Arg	Asn	Phe	Lys
Asn 305	Ser	Ala	Gln	Leu	Cys 310	Leu	Glu	Leu	Glu	Ala 315	Trp	Glu	Arg	Gly	Arg 320
Ala	Val	Asp	Leu	Arg 325	Gly	Leu	Gly	Phe	Asp 330	Arg	Ala	Ala	Arg	Gln 335	Val
His	Glu	Lys	Ala 340	Leu	Phe	Leu	Val	Phe 345	Gly	Arg	Thr	Lys	Lys 350	Arg	Asp
Гел	Phe	Phe 355	Asn	Glu	Ile	Lys	Ala 360	Arg	Ser	Gly	Gln	Asp 365	Asp	Lys	Thr
Val	Tyr 370	Glu	Туг	Гел	Phe	Ser 375	Gln	Arg	Arg	Lys	Arg 380	Arg	Ala	Pro	Leu
Ala 385	Thr	Arg	Gln	Gly	Lys 390	Arg	Pro	Ser	Lys	Asn 395	Leu	Lys	Ala	Arg	Суа 400
Ser	Arg	Lys	Ala	Leu 405	His	Val	Asn	Phe	Lys 410	Asp	Met	Gly	Тгр	Asp 415	Asp
Trp	Ile	Ile	Ala 420	Pro	Leu	Glu	Tyr	Glu 425	Ala	Phe	His	Cys	Glu 430	Gly	Leu
Суз	Glu	Phe 435	Pro	Leu	Arg	Ser	His 440	Leu	Glu	Pro	Thr	Asn 445	His	Ala	Val
Ile	G1n 450	Thr	Leu	Met	Asn	Ser 455	Met	Asp	Pro	Glu	Ser 460		Pro	Pro	Thr
Cys 465	Cys	Val	Pro	Thr	Arg 470	Leu	Ser	Pro	lle	Ser 475	Ile	Leu	Phe	Ile	Asp 480
Ser	Ala	Asn	Asn	Val 485	Val	Tyr	Lys	Gln	Тут 490	Glu	Asp	Met	Val	Val 495	Glu
Ser	Суз	Gly	Cys 500	Arg											

REIVINDICACIONES

1. Proteína relacionada con GDF-5 recombinante con actividad biológica mejorada

```
5
            en la que
                               a) el aminoácido en la posición correspondiente a metionina 453 (M453) de GDF-5 de tipo silvestre humana
                               (SEC ID Nº 1) es alanina, valina o isoleucina,
                              y/o
10
                               b) el aminoácido en la posición correspondiente a metionina 456 (M456) de GDF-5 de tipo silvestre humana
                               (SEC ID Nº 1) es alanina, valina o isoleucina,
                               y en la que la misma comprende una secuencia que coincide con una o más de las fórmulas de
                               aminoácidos genéricas siguientes:
15
                               CX<sub>1</sub>X<sub>2</sub>KX<sub>3</sub>LHVX<sub>4</sub>FX<sub>5</sub>X<sub>6</sub>X<sub>7</sub>GWDDWX<sub>8</sub>IAPLX<sub>9</sub>YEAX<sub>10</sub>HCX<sub>11</sub>GX<sub>12</sub>CX<sub>13</sub>FPX<sub>14</sub>RSHLEPTNHAX<sub>15</sub>
                               IQTLZTNSMX<sub>16</sub>PX<sub>17</sub>X<sub>18</sub>X<sub>19</sub>PX<sub>201</sub>X<sub>21</sub>CCVPX<sub>22</sub>X<sub>23</sub>LX<sub>24</sub>PISILX<sub>25</sub>X<sub>26</sub>DX<sub>27</sub>X<sub>28</sub>NNVVY
                               X<sub>29</sub>X<sub>30</sub>YEX<sub>31</sub>MVVEX<sub>32</sub>CGCR o
                               b) CX<sub>1</sub>X<sub>2</sub>KX<sub>3</sub>LHVX<sub>4</sub>FX<sub>5</sub>X<sub>6</sub>X<sub>7</sub>GWDDWX<sub>8</sub>IAPLX<sub>9</sub>YEAX<sub>10</sub>HCX<sub>11</sub>GX<sub>12</sub>CX<sub>13</sub>FPX<sub>14</sub>RSH LEPTNHAX<sub>15</sub>
20
                               IQTLMNSZ_2X_{16}PX_{17}X_{18}X_{19}PX_{201}X_{21}CCVPX_{22}X_{23}LX_{24}PISILX_{25}X_{26}DX_{28}NNVVYX_{29}X_{30}YEX_{31}MVVEX_{32}CGCR\ o\ and both the second of the s
                               c) CX_1X_2KX_3LHVX_4FX_5X_6X_7GWDDWX_8LAPLX_9YEAX_{10}HCX_{11}GX_{12}CX_{13}FPX_{14}RSH LEPTNHAX_{15}
                               IQTLZ_1NSZ_2X_{16}PX_{17}X_{18}X_{19}PX_{201}X_{21}CCVPX_{22}X_{23}LPISILX_{25}X_{26}DX_{27}X_{28}NNVV
                               YX29X30YEX31MVVEX32CGCR
25
                       en las que
                                                 indica asparagina (N) o serina (S)
                       X<sub>1</sub> X<sub>2</sub> X<sub>3</sub> X<sub>4</sub> X<sub>5</sub> X<sub>6</sub> X<sub>7</sub> X<sub>8</sub>
                                                 indica arginina (R) o lisina (K)
                                                 indica alanina (A), glutamina (Q), prolina (P) o serina (S)
30
                                                 indica asparagina (N) o ácido aspártico (D)
                                                 indica arginina (R) o lisina (K)
                                                 indica ácido aspártico (D) o ácido glutámico (E)
                                                 indica leucina (L) o metionina (M)
                                                 indica isoleucina (I) o valina (V)
                       X<sub>9</sub>
35
                                                 indica ácido aspártico (D) o ácido glutámico (E)
                       X<sub>10</sub>
                                                 indica histidina (H), fenilalanina (F) o tirosina (Y)
                                                 indica ácido aspártico (D) o ácido glutámico (E)
                       X_{11}
                                                 indica leucina (L), metionina (M) o valina (V)
                       X_{12}
                       X<sub>13</sub>
                                                 indica ácido aspártico (D) o ácido glutámico (E)
40
                       X<sub>14</sub>
                                                 indica isoleucina (I) o leucina (L)
                                                 indica isoleucina (I) o valina (V)
                       X_{15}
                                                 indica alanina (A), asparagina (N) o ácido aspártico (D)
                       X_{16}
                       X_{17}
                                                 indica arginina (R), asparagina (N), ácido aspártico (D), ácido glutámico (E), glicina (G) o serina (S)
                                                 indica alanina (A), asparagina (N), serina (S) o treonina (T)
                       X_{18}
                       X_{19}
45
                                                 indica alanina (A), metionina (M) o treonina (T)
                                                 indica alanina (A) o prolina (P)
                       X_{20}
                       X_{21}
                                                 indica serina (S) o treonina (T)
                                                 indica alanina (A), serina (S) o treonina (T)
                       X<sub>22</sub>
                                                 indica arginina (R) o lisina (K)
                       X_{23}
                       X_{24}
                                                 indica serina (S) o treonina (T)
50
                                                 indica fenilalanina (F) o tirosina (Y)
                       X_{25}
                                                 indica isoleucina (I) o treonina (T)
                       X<sub>26</sub>
                       X<sub>27</sub>
                                                 indica alanina (A) o serina (S)
                                                 indica alanina (A) o glicina (G)
                       X_{28}
55
                       X_{29}
                                                 indica asparagina (N) o lisina (K)
                                                 indica ácido glutámico (E) o glutamina (Q)
                       X<sub>30</sub>
                                                 indica ácido aspártico (D) o ácido glutámico (E),
                       X_{31}
                                                 indica alanina (A), glutamina (Q), serina (S) o treonina (T)
                       X_{32}
```

o una secuencia correspondiente en la que la cisteína que es responsable de la formación de dímero se sustituye por un aminoácido diferente o se suprime.

indica alanina (A), isoleucina (I) o valina (V), indica alanina (A), isoleucina (I) o valina (V),

65 2. Proteína de acuerdo con la reivindicación 1,

 Z_1

60

en la que la proteína relacionada con GDF-5 es una proteína de GDF-5 de vertebrado o un fragmento biológicamente activo o una versión alélica de la misma.

3. Proteína de acuerdo con la reivindicación 2,

5

- en la que la proteína relacionada con GDF-5 es GDF-5 humana (SEC ID Nº 1) o un fragmento biológicamente activo de la misma.
- 4. Ácido nucleico, que codifica una proteína de acuerdo con una cualquiera de las reivindicaciones precedentes 1 a 3.
 - 5. Vector de expresión, que comprende un ácido nucleico de acuerdo con la reivindicación 4.
- 6. Célula hospedadora, que contiene un ácido nucleico de acuerdo con la reivindicación 4 o un vector de expresión de acuerdo con la reivindicación 5.
 - 7. Composición farmacéutica, que comprende una proteína de acuerdo con una cualquiera de las reivindicaciones 1 a 3 y/o un ácido nucleico de acuerdo con la reivindicación 4 y/o un vector de expresión de acuerdo con la reivindicación 5 y/o una célula hospedadora de acuerdo con la reivindicación 6.

20

- 8. Composición farmacéutica de acuerdo con la reivindicación 7, que comprende adicionalmente sustancias auxiliares y/o de vehículo farmacológicamente aceptables.
- 9. Composición farmacéutica de acuerdo con las reivindicaciones 7 u 8, en la que la proteína y/o ácido nucleico y/o vector y/o célula hospedadora están contenidos en o sobre un material
- 10. Composición farmacéutica de acuerdo con una cualquiera de las reivindicaciones 7 a 9, para su uso en el diagnóstico, prevención y/o terapia de lesiones o enfermedades asociadas con hueso o cartílago dañado.

30

25

de matriz biocompatible.

- 11. Composición farmacéutica de acuerdo con cualquiera de las reivindicaciones 7 a 10, para uso para promover crecimiento de cartílago y/o de hueso y/o fusión espinal, para el diagnóstico, prevención y/o terapia de tejidos de vasos sanguíneos dañados o enfermos y para la inducción de angiogénesis.
- 35 12. Composición farmacéutica de acuerdo con la reivindicación 10, en la que dicha enfermedad asociada con daño de hueso y/o cartílago es osteoporosis.
- 13. Un método para la producción de una proteína recombinante de acuerdo con una cualquiera de las reivindicaciones 1 a 4 que comprende preparar de forma recombinante una proteína obtenida a partir de una 40 proteína relacionada con GDF-5 mediante
 - a) el reemplazo del aminoácido en la posición correspondiente a metionina 453 (M453) de GDF-5 de tipo silvestre humana (SEC ID Nº 1) con alanina, valina o isoleucina; y/o
 - b) el reemplazo del aminoácido en la posición correspondiente a metionina 456 (M456) de GDF-5 de tipo silvestre humana (SEC ID Nº 1) con alanina, valina o isoleucina.

45

14. Un anticuerpo que es específico para una proteína relacionada con GDF recombinante de acuerdo con una cualquiera de las reivindicaciones 1 a 3, en el que el anticuerpo es específico para una región que abarca los aminoácidos correspondientes a los aminoácidos 453-456 de GDF-5 de tipo silvestre humana (SEQ ID Nº 1).

50

15. Uso de una proteína de acuerdo con una cualquiera de la reivindicaciones 1 a 3, un ácido nucleico de acuerdo con la reivindicación 4, un vector de expresión de acuerdo con la reivindicación 5 y/o una célula hospedadora de acuerdo con la reivindicación 6, para la preparación de una composición terapéutica y/o de diagnóstico para el diagnóstico, prevención y/o terapia de enfermedades asociadas con daño óseo y/o de cartílago o que influye a una enfermedad ósea y/o de cartílago.

55

60

65

- 16. Uso de una proteína de acuerdo con una cualquiera de las reivindicaciones 1 a 3, un ácido nucleico de acuerdo con la reivindicación 4, un vector de expresión de acuerdo con la reivindicación 5 y/o una célula hospedadora de acuerdo con la reivindicación 6, para la preparación de una composición terapéutica y/o de diagnóstico para promover formación de cartílago y/o hueso y/o fusión espinal.
- 17. Uso de una proteína de acuerdo con una cualquiera de las reivindicaciones 1 a 3, un ácido nucleico de acuerdo con la reivindicación 4, un vector de expresión de acuerdo con la reivindicación 5 y/o una célula hospedadora de acuerdo con la reivindicación 6, para la preparación de una composición terapéutica y/o de diagnóstico para el diagnóstico, prevención y/o terapia de tejido de vasos sanguíneos dañado o enfermo.

18. Uso de una proteína de acuerdo con una cualquiera de las reivindicaciones 1 a 3, un ácido nucleico de acuerdo con la reivindicación 4, un vector de expresión de acuerdo con la reivindicación 5 y/o una célula hospedadora de acuerdo con la reivindicación 6, para la preparación de una composición terapéutica y/o de diagnóstico para la inducción de angiogénesis.

FIG. 1

1	MRLPKLLTPL	LWYLAWLDLE	PICTVLGAPD	LGORPOGTRP	GLAKAEAKER	PPLARNVFRI

- 61 GGHSYGGGAT NANARAKGGT GQTGGLTQPK KDEPKKLPPR PGGPEPRPGH PPQTRQATAR
- 121 TVTFKGQLPG GKAPPRAGSV PSSPLLKKAR EPGPPREPKE PFRPPPITPH EYMLSLYRTL
- 181 SDADRKGGNS SVELBAGLAN TITSFIDROQ DDRGPVVRKQ RYVFDISALE KDGLLGAELR
- 241 ILRKKPSDTA KPAAPGGGRA AQLKLSSCPS GRQPASLLDV RSVPGLDGSG WEVFDIWKLP
- 301 RNYKNSAQLC LELEAWERGR AVDLRGLGFD RAARQVHEKA LYLVYGRTKK RDLFFNEIKA
- 361 RSGQDDRTVY BYLPSQRRER RAPLATROGK RPSKNLKARC SRKALHVNFK DMGWDDWIIA
- 421 PLEYEAFHCE GLCEFPLRSH LEPTNHAVIQ TLMNSMDPES TPPTCCVPTR LSPISILFID
- 481 SANNVYKOY EDMVVESCGC R

FIG. 2

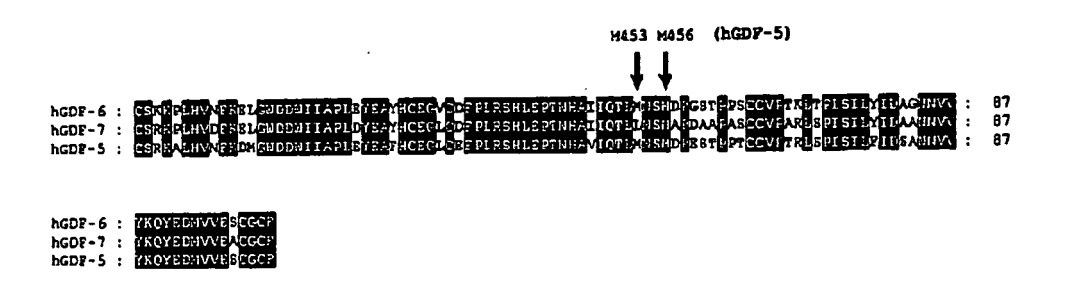


FIG. 3

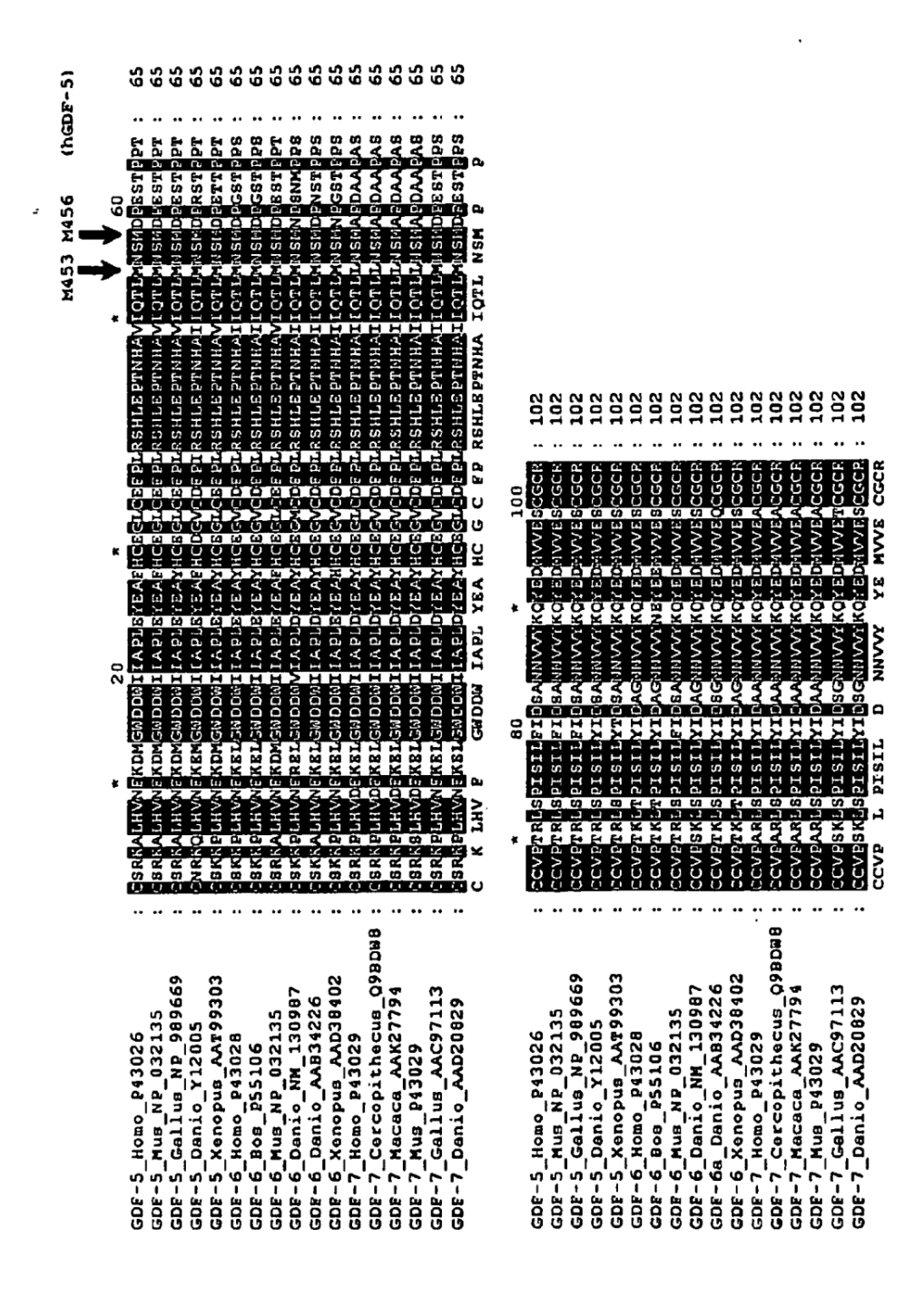
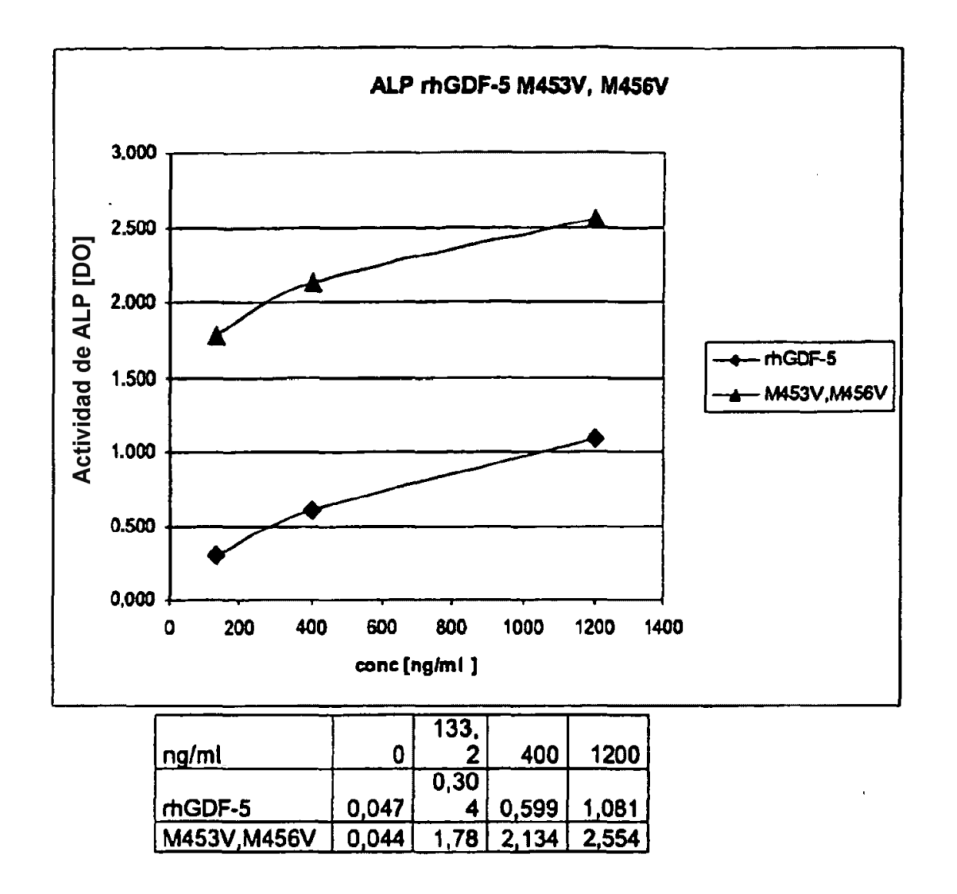


FIG. 4
% de identidad de secuencia con dominio de nudo de cistina de GDF-5 humana

	% de	Restos
Secuencia	identidad	idénticos
Secuencia		
GDF-5 Homo	100	102/102
GDF-5 Mus	99	101/102
GDF-5 Gallus	99	101/102
GDF-5 Xenopus	94	96/102
GDF-5 Danio (Contad)	88	90/102
GDF-7 Danio	88	90/102
GDF-6 Mus	86	88/102
GDF-7 Gallus	86	88/102
GDF-6 Danio (Radar)	86	88/102
GDF-6 Homo	85	87/102
GDF-6 Xenopus	84	86/102
GDF-6 Bos	83	85/102
GDF-7 Homo	81	83/102
GDF-7 Cercopithecus	80	82/102
GDF-7 Macaca	80	82/102
GDF-7 Mus	80	82/102
GDF-6 Danio		
(Dynamo)	79	81/102
BMP-2A	57	58/102
BMP-2B	57	58/102
Vg-1	52	53/102
DPP	52	53/102
BMP-5	52	53/102
BMP-9	51	52/102
BMP-10	51	52/102
BMP-8A	51	51/102
BMP-6	51	52/102
BMP-7	51	52/102
GDF-3	49	50/102
60A	48	49/102
BMP-8B	48	49/102
BMP-3A	47	48/103
GDF-9B	45	46/102
BMP-3B	43	44/103
GDF-8	37	38/102
GDF-12	37	38/104
GDF-11	36	37/102
GDF-9	32	33/102

FIG. 5



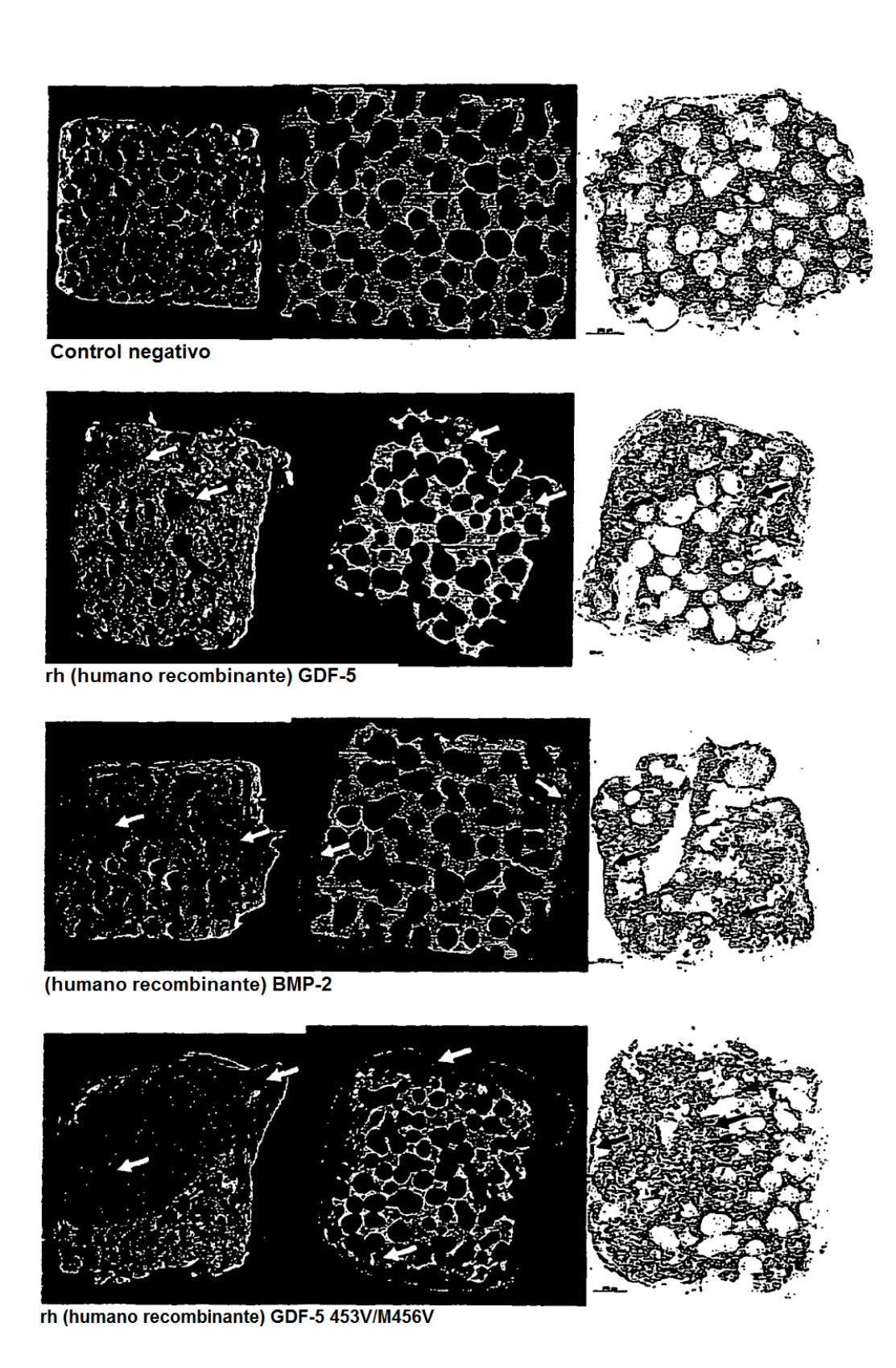
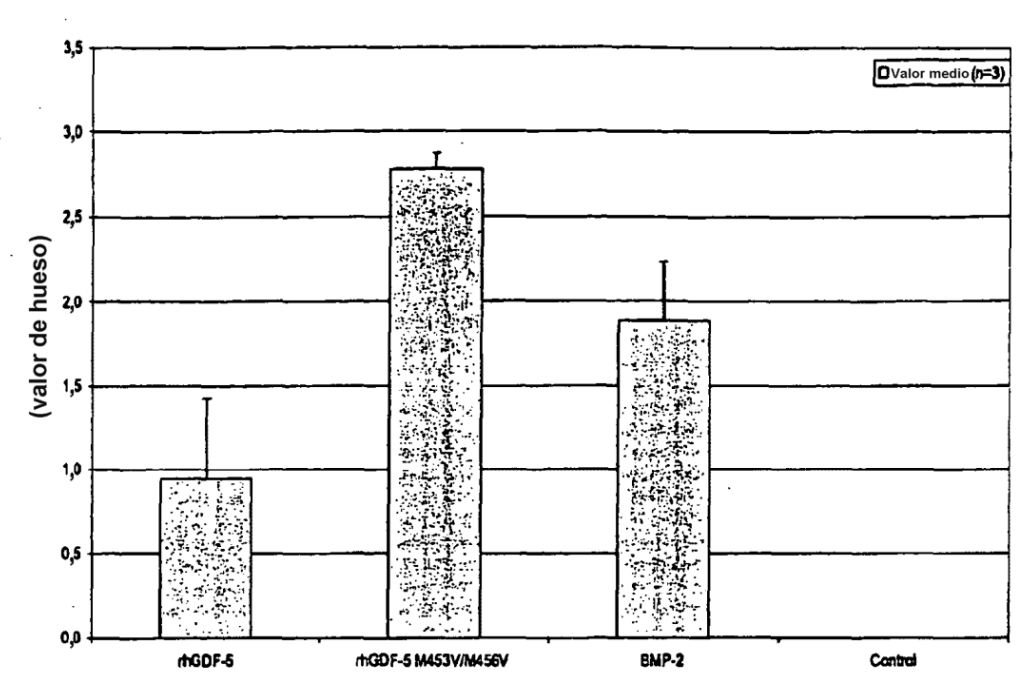


FIG. 6

Formación de hueso nuevo



Cantidad estimada de fomación de hueso nuevo en las estructuras mediante el uso de las siguientes escalas:

sin	hueso	→ 0
1- 10 %	hueso	→ 1
10- 50 %	hueso	→ 2
50-100%	hueso	→ 3

		mGDF-5		Co
	mGDF-5	M453V/M456V	BMP-2	n trol
Valor medio (n=3)	0,94	2,78	1,89	0
DT	0,48	0,10	0,35	0

FIG. 7